

# MÓDULOS DE TRELIÇA PARA CÓDIGOS CONVOLUCIONAIS BASEADOS EM CÓDIGOS VARIANTES NO TEMPO

*Bartolomeu F. Uchôa-Filho*

Grupo de Pesquisa em Comunicações - GPqCom  
Departamento de Engenharia Elétrica  
Centro Tecnológico  
Universidade Federal de Santa Catarina  
Florianópolis - SC - 88040-900  
E-mail: uchoa@eel.ufsc.br

## ABSTRACT

É bastante conhecido que códigos convolucionais invariantes no tempo podem ser representados por uma treliça semi-infinita, formada pela concatenação de cópias idênticas de um módulo regular, chamado de módulo convencional de treliça. Em 1996, McEliece e Lin definiram “a” complexidade de uma treliça como sendo o número de símbolos (no módulo) por bit de informação e, segundo essa medida, determinou que o módulo de menor complexidade, chamado de módulo “mínimo”, é aquele baseado na treliça BCJR para códigos de bloco. Dois anos mais tarde, Hole sugeriu uma representação alternativa para códigos convolucionais, baseada num módulo BCJR estendido e numa versão podada do módulo convencional, cuja complexidade é inferior àquela do módulo “mínimo” para vários casos considerados na literatura. Neste artigo, apresentamos exemplos de códigos convolucionais e módulos associados, baseados em códigos variantes no tempo, cuja complexidade, segundo a medida de McEliece e Lin, é bastante inferior àquelas obtidas por Hole e por McEliece e Lin. Estes resultados sugerem que seja dada uma especial atenção para estas representações, no intuito de se estabelecer a representação menos complexa para um código convolucional com taxa e distância livre fixadas.

## 1. INTRODUÇÃO

Considere o corpo de Galois  $\text{GF}(2) \triangleq F$ . Um código convolucional binário  $\mathcal{C}$  com comprimento de bloco  $n$ ,  $k$  bits de informação, e memória  $m$  (onde  $m$  é o menor inteiro para que exista um codificador que gere  $\mathcal{C}$  com apenas  $m$  unidades de atraso), dito ser um código  $(n, k, m)$ , é um sub-espaço de dimensão  $k$  do espaço  $F(D)^n$ , onde  $F(D)$  é corpo das funções racionais na variável  $D$  sobre  $F$  [1]. A *distância livre* do código convolucional (ou seja, o peso

mínimo de Hamming de qualquer palavra-código) é denotada por  $d$ . Assim, diremos que o código  $(n, k, m)$   $\mathcal{C}$  de distância livre  $d$  é um código  $(n, k, m, d)$ . A seguir, usaremos a notação adotada em [1] e [2].

Um código  $(n, k, m, d)$   $\mathcal{C}$  pode ser representado por uma treliça semi-infinita que, após um breve transiente, consiste na concatenação de cópias idênticas de uma estrutura básica chamada *módulo*. O módulo  $M$  é portanto o menor período da treliça semi-infinita. A treliça “convencional” para  $\mathcal{C}$  é aquela cujo módulo, denotado por  $M_{conv}$ , consiste em  $2^m$  estados iniciais e  $2^m$  estados finais; de cada estado inicial partem  $2^k$  ramos conectando este estado a estados finais (normalmente distintos, mas transições paralelas são admitidas). Cada ramo é rotulado com  $n$  bits, correspondentes aos  $n$  bits de saída do codificador para  $\mathcal{C}$ .  $M_{conv}$  pode ser obtido diretamente a partir da *matriz geradora canônica*  $\mathbf{G}(D)$ , que é uma matriz de dimensão  $k \times n$  cujos elementos são polinômios  $\in F(D)$ . Por falta de espaço, e por serem bastante conhecidas, serão aqui omitidas (veja, por exemplo, Lin e Costello [3]) a descrição de  $\mathbf{G}(D)$ , a relação entre  $\mathbf{G}(D)$  e a realização na forma direta do codificador, a seqüência de informação de entrada e a seqüência codificada. Entretanto, precisaremos definir a equivalência entre duas matrizes geradoras (ou dois codificadores). Dizemos que  $\mathbf{G}(D)$  e  $\mathbf{G}'(D)$  são matrizes geradoras *equivalentes* se e somente se elas geram o mesmo código convolucional  $(n, k, m, d)$ . Para tanto, é necessário e suficiente que exista uma matriz  $k \times k$  não singular  $\mathbf{T}(D)$  sobre  $F(D)$  tal que [6, Teorema 2.14]:

$$\mathbf{G}'(D) = \mathbf{T}(D) \mathbf{G}(D) \quad (1)$$

McEliece e Lin [1] determinaram que o esforço computacional requerido pelo algoritmo de Viterbi para decodificar um bit é proporcional ao número de símbolos (no módulo) por bit de informação. Esta medida é dita ser “a” *complexidade de treliça* (CT) para o módulo  $M$  do código

convolucional. É fácil verificar que a complexidade de treliça para o módulo convencional é:

$$CT(M_{conv}) = \frac{n}{k} \cdot 2^{k+m} \quad (2)$$

símbolos por bit.

McEliece e Lin<sup>1</sup> definiram o módulo “mínimo” como sendo aquele baseado na treliça BCJR para códigos de bloco [4]. Seguindo a nota ção em [2], o módulo BCJR será denotado por  $P$ . Foi verificado em [1] que  $CT(P)$  é significativamente menor do que  $CT(M_{conv})$  para vários códigos convolucionais. Dois anos mais tarde, Hole [2] sugeriu uma representação alternativa para códigos convolucionais, baseada num módulo BCJR estendido,  $P_{ext}$ , e numa versão podada do módulo convencional,  $M_{prun}$ . Hole mostrou que a complexidade resultante,  $CT(P_{ext}) + CT(M_{prun})$ , é inferior àquela do módulo “mínimo” para vários códigos convolucionais. Neste artigo, apresentamos exemplos de códigos convolucionais e módulos associados, baseados em códigos variantes no tempo, cuja complexidade, segundo a medida de McEliece e Lin, é bastante inferior àquelas obtidas por Hole e por McEliece e Lin. Estes resultados sugerem que seja dada uma especial atenção para estas representações, no intuito de se estabelecer a representação menos complexa para um código convolucional com taxa e distância livre fixadas.

Na próxima seção, consideraremos a representação de Hole [2]. Tomaremos como base para a discussão o exemplo do código convolucional (3,2,1,2) adotado em [2]. Veremos que, através de uma transformação  $T(D)$  apropriada, podemos ter uma matriz geradora equivalente que leva naturalmente a um módulo (baseado em códigos variantes no tempo) menos complexo que aquele apresentado por Hole. Na Seção 3, consideraremos o módulo “mínimo” de McEliece e Lin [1]. Adotaremos um exemplo encontrado em [1] para um código convolucional (8,4,3,8). Neste caso, não existe uma transformação  $T(D)$  que possibilite a obtenção de uma menor CT, como no caso da Seção 2. Por outro lado, apresentaremos um código convolucional (8,4,4,8), ou seja, com mesma taxa 4/8 e mesma distância livre 8, porém com um módulo convencional mais complexo<sup>2</sup>. Apesar disto, este código tem um módulo baseado em códigos variantes no tempo cuja CT é bastante inferior à CT “mínima” do código (8,4,3,8) adotado por McEliece e Lin. Por fim, na Seção 4, faremos alguns comentários finais.

## 2. OS MÓDULOS DE HOLE

Por questão de simplicidade, nesta seção, mostraremos os módulos  $P_{ext}$  e  $M_{prun}$  de Hole [2] através de um exemplo.

<sup>1</sup>Deve ser citado o trabalho de Sidorenko e Zyablov [5], semelhante ao de McEliece e Lin e publicado anteriormente.

<sup>2</sup>Note que este código tem  $m = 4$ , enquanto que no exemplo de McEliece e Lin  $m = 3$ .

A descrição genérica do método de obtenção dos módulos pode ser encontrada em [2], [7] e [8]. Considere o código convolucional de *memória unitária parcial* (veja [9]) cuja matriz geradora canônica é:

$$\mathbf{G}(D) = \mathbf{G}_0 + D \cdot \mathbf{G}_1 = \begin{bmatrix} 1 & 1 & 1 \\ 1 & 0 & 1 \end{bmatrix} + D \begin{bmatrix} 0 & 0 & 0 \\ 0 & 1 & 1 \end{bmatrix}$$

Note que  $m = 1$ , que é o *rank* da matriz  $\mathbf{G}_1$ . Se a matriz  $\mathbf{G}_1$  é de *rank* cheio, o código é dito ser de *memória unitária* [10]. O módulo convencional,  $M_{conv}$ , para este código (3,2,1,2) é mostrado na Fig. 1. Os rótulos sobre

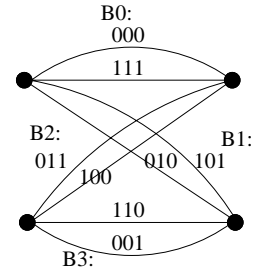


Figure 1: Módulo convencional,  $M_{conv}$ , para o código convolucional (3,2,1,2).  $B_0 = \{000, 111\}$  é o código de bloco linear relativo às transições do estado inicial zero ao estado final zero.  $B_1$ ,  $B_2$  e  $B_3$  são os três *cosets* relativos aos demais conjuntos de transições paralelas.

os ramos que partem do estado inicial zero em direção ao estado final zero constituem um código de bloco linear, denotado por  $B_0$ . No exemplo,  $B_0 = \{000, 111\}$ . Os demais conjuntos de transições paralelas correspondem aos *cosets*  $B_1 = \{010, 101\}$ ,  $B_2 = \{011, 100\}$  e  $B_3 = \{110, 001\}$ . Como os *cosets* representam apenas translações do código  $B_0$ , pode-se facilmente estender a treliça BCJR do código  $B_0$  para representar todos os *cosets*, dando origem ao que Hole chamou de módulo estendido,  $P_{ext}$ . Este é mostrado na Fig. 2. No seu procedimento de decodificação, Hole também considerou uma versão podada do módulo convencional da Fig. 1, denotado por  $M_{prun}$  (*pruned*=podado). Neste módulo, apenas um ramo é mantido de cada conjunto de transições paralelas, sendo este ramo rotulado por  $B_i$ , o nome do *coset* ao qual ele pertence. O módulo convencional podado do exemplo em questão é mostrado na Fig. 3.

Iniciando com uma métrica zero no estado inicial do módulo da Fig. 2, o algoritmo de Viterbi pode ser utilizado neste módulo para determinar as métricas nos quatro estados finais  $B_0$ ,  $B_1$ ,  $B_2$  e  $B_3$ . Como estes rótulos são os mesmos da Fig. 3, essas métricas podem ser consideradas como as métricas de ramo no módulo  $M_{prun}$ , a partir das quais o algoritmo de Viterbi determina as novas métricas de estado da treliça  $M_{prun}$ . O procedimento é repetido para os caminhos sobreviventes, sendo que agora a métrica no estado inicial do módulo da Fig. 2 deve corresponder às métricas

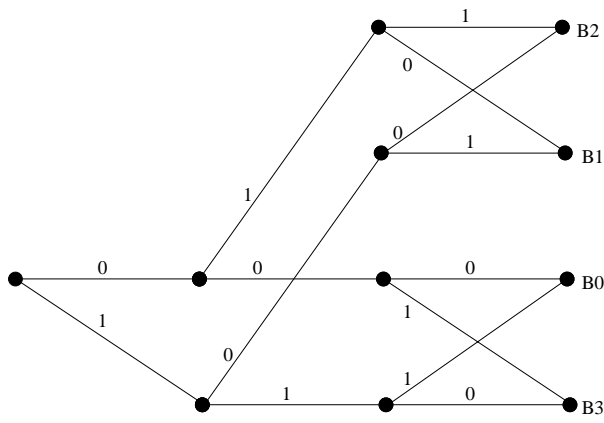


Figure 2: Módulo BCJR estendido,  $P_{ext}$ , para todos os cosets de  $B_0 = \{000, 111\}$ .

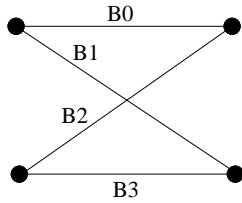


Figure 3: Módulo convencional podado para o código convolucional (3,2,1,2).

acumuladas nos estados finais do módulo  $M_{prun}$ . Pode-se verificar facilmente que  $CT(P_{ext}) = 14/2 = 7$ , pois há 14 símbolos em  $P_{ext}$  para  $k = 2$  bits de informação. O módulo  $M_{prun}$  por sua vez tem  $CT(M_{prun}) = 4/2 = 2$ , pois há quatro símbolos para  $k = 2$  bits de informação (cada rótulo em  $M_{prun}$  é considerado como um único símbolo, pois neste módulo cada métrica de ramo é um único número real previamente computado). A complexidade de treliça resultante é  $CT(P_{ext}) + CT(M_{prun}) = 9$ .

Sem grandes esforços, podemos constatar que com a matriz

$$\mathbf{T}(D) = \begin{bmatrix} 1 & 0 \\ 1 + D & 1 \end{bmatrix}$$

obtemos a matriz geradora canônica equivalente

$$\begin{aligned} \mathbf{G}'(D) &= \mathbf{T}(D) \mathbf{G}(D) \\ &= \begin{bmatrix} 1 & 1 & 1 \\ 0 & 1 & 0 \end{bmatrix} + D \begin{bmatrix} 0 & 0 & 0 \\ 1 & 0 & 0 \end{bmatrix} \end{aligned}$$

De acordo com os trabalhos [11] e [12] sobre códigos puncionados variantes no tempo, a matriz geradora semi-infinita binária [3] deste código pode ser adaptada para uma matriz equivalente de um código puncionado, cujo módulo de treliça corresponde a duas seções, como mostrado na Fig. 4. Claramente, este módulo tem uma  $CT = (4 + 8)/2 = 6$

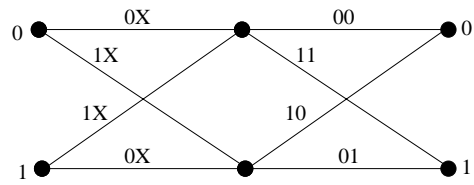


Figure 4: Módulo para o código convolucional (3,2,1,2) baseado em código (puncionado) variante no tempo.

símbolos por bit, que é inferior aos 9 símbolos por bit do exemplo em [2].

### 3. O MÓDULO “MÍNIMO”

Considere o código convolucional de memória unitária parcial apresentado por Lauer [9] cuja matriz geradora canônica é:

$$\mathbf{G}(D) = \begin{bmatrix} 11111111 \\ 11101000 \\ 10110100 \\ 10011010 \end{bmatrix} + D \begin{bmatrix} 00000000 \\ 11011000 \\ 10101100 \\ 10010110 \end{bmatrix}$$

Note que  $m = 3$ , que é o *rank* da segunda matriz. A distância livre desse código é 8. O módulo convencional,  $M_{conv}$ , para este código (8,4,3,8) tem  $CT = 8/4 \cdot 2^{(3+4)} = 256$  símbolos por bit. Esta matriz geradora foi modificada por McEliece e Lin [1], através de uma matriz  $T(D)$  apropriada, produzindo um código (8,4,3,8) equivalente para o qual a complexidade de treliça do módulo “mínimo” BCJR é 104 símbolos por bit. Neste caso, não existe uma transformação  $T(D)$  que possibilite a obtenção de uma CT ainda menor, como no caso da Seção 2. Por outro lado, obtemos um resultado surpreendente ao considerar o código convolucional (8,4,4,8) com mesma taxa 4/8 e mesma distância livre 8 gerado por:

$$\mathbf{G}(D) = \begin{bmatrix} 11110110 \\ 00111001 \\ 00001110 \\ 00000011 \end{bmatrix} + D \begin{bmatrix} 11000000 \\ 11110000 \\ 11101100 \\ 10111011 \end{bmatrix}$$

Note que o *rank* da segunda matriz é 4, logo  $m = 4$ . Apesar de o módulo convencional para este código de memória unitária ser mais complexo (CT=512) que o do seu concorrente (CT=256), a CT do seu módulo baseado em códigos variantes no tempo é consideravelmente inferior à CT “mínima” do código (8,4,3,8) adotado por McEliece e Lin [1], como veremos a seguir. Uchôa-Filho e Palazzo [11], [12] consideraram códigos convoluacionais puncionados quando o código *mãe* (i.e., aquele em cujas seqüências codificadas é aplicado o puncionamento) é periodicamente variante no tempo. Naqueles trabalhos o objetivo foi encontrar códigos com a mesma distância livre  $d$  obtida no caso invariante no

tempo, porém com um menor peso total de informação associado a seqüências codificadas de peso de Hamming igual a  $d$ , visando um melhor desempenho em termos de probabilidade de erro de bit. Adotando as técnicas em [11], [12], podemos construir um módulo de treliça consistindo em 4 seções, ou seja, o menor período da treliça semi-infinita é 4. Cada seção do módulo tem 16 estados, e de cada estado partem dois ramos, cada um contendo 2 bits codificados. Portanto,  $CT$  é:

$$\frac{16 \text{ (est./sec.)} \times 2 \text{ (ram./est.)} \times 2 \text{ (bits/ram.)} \times 4 \text{ (sec.)}}{4 \text{ (bits de informação)}}$$

Ou seja,  $CT = 64$  símbolos por bit. Este módulo é construído a partir da matriz geradora semi-infinita binária [3], que é obtida trivialmente a partir da matriz  $\mathbf{G}(D)$  acima. O procedimento é ilustrado na Fig. 5. Por fim, devemos

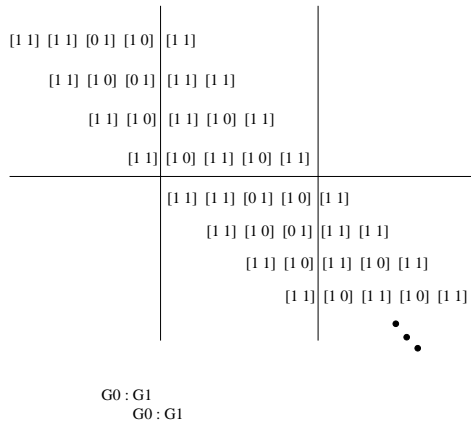


Figure 5: Obtenção do código variante no tempo (período 4) equivalente a partir da matriz geradora semi-infinita binária do código convolucional (8,4,4,8) [11], [12]. Os espaços em branco denotam zeros.

mencionar que a matriz geradora (ou codificador)  $\mathbf{G}(D)$  acima, que gera um código de memória unitária, é inteiramente equivalente<sup>3</sup> [12] a um codificador variante no tempo obtido por Pil Lee [13].

#### 4. COMENTÁRIOS FINAIS

É óbvia a necessidade de se realizar estudos adicionais no sentido de se estabelecer a representação menos complexa para um código convolucional com taxa e distância livre fixadas. É importante observar que a memória  $m$  não precisa ser fixada, já que ela se refere especificamente à complexidade da treliça segundo o critério (aparentemente obsoleto) do número de estados. Com base nos resultados

<sup>3</sup>Dois codificadores (ou matrizes geradoras) são inteiramente equivalentes [12] se para uma mesma seqüência de informação os codificadores (ou as matrizes geradoras) produzem a mesma seqüência codificada.

das Seções 2 e 3, podemos afirmar que há casos especiais nos quais a treliça BCJR não apresenta complexidade mínima. A estratégia *two-step* de Hole [2] também aponta para esta direção. Aparentemente, para uma matriz geradora  $\mathbf{G}(D)$  qualquer, é correto afirmar que, em geral, uma transformação  $\mathbf{T}(D)$  existe tal que a treliça BCJR é a menos complexa. Porém, pode haver um codificador equivalente cujo módulo baseado em códigos variantes no tempo seja o menos complexo, como aconteceu no exemplo da Seção 2. Por outro lado, caso não exista uma transformação  $\mathbf{T}(D)$  que atuando na mesma matriz  $\mathbf{G}(D)$  proporcione uma estrutura como a da Fig. 5, se for encontrada uma outra matriz  $\mathbf{G}'(D)$  que produza a mesma taxa e mesma distância livre porém com uma estrutura como a da Fig. 5, provavelmente teremos a menor CT, como aconteceu no exemplo da Seção 3. A dificuldade, que não é nova quando se trata de códigos convolucionais, é a aparente falta de estrutura algébrica dessa classe de códigos, que torna difícil a elaboração de uma teoria determinando em que condições essa ou aquela abordagem produzirá o melhor resultado. Em todos os trabalhos citados acima, foi inevitável uma busca computacional. Ainda assim, acreditamos que seja possível em breve a construção de uma tabela, como disse McEliece, “no espírito de Brouwer e Verhoeff [14]”, listando um bom número de códigos convolucionais com as respectivas representações verdadeiramente mínimas.

#### AGRADECIMENTOS

Esse trabalho teve o apoio financeiro do Conselho Nacional de Desenvolvimento Científico e Tecnológico (CNPq), processos 301593/96-5 e 462450/00-7.

#### 5. REFERENCES

- [1] R. J. McEliece and W. Lin, “The trellis complexity of convolutional codes,” *IEEE Trans. on Inform. Theory*, vol. 42, no. 6, pp. 1855-1864, Nov. 1996.
- [2] K. J. Hole, “A comparison of trellis modules for binary convolutional codes,” *IEEE Trans. on Inform. Theory*, vol. 46, no. 10, pp. 1245-1249, Oct. 1998.
- [3] S. Lin and D. J. Costello, Jr., *Error Control Coding, Fundamentals and Applications*, Prentice-Hall, Englewood Cliffs, 1983.
- [4] L. R. Bahl, J. Cocke, F. Jelinek, and J. Raviv, “Optimal decoding of linear codes for minimizing symbol error rate,” *IEEE Trans. on Inform. Theory*, vol. IT-20, pp.284-287, Mar. 1974.
- [5] V. Sidorenko and V. Zyablov, “Decoding of convolutional codes using a syndrome trellis,” *IEEE Trans. on Inform. Theory*, vol. 40, no. 5, pp. 1663-1666, Sept. 1994.

- [6] R. Johannesson and K. S. Zigangirov, *Fundamentals of Convolutional Coding*, IEEE Press, New York, NY, 1999.
- [7] M. F. Hole and O. Ytrehus, "Two-step trellis decoding of partial unit-memory convolutional codes," *IEEE Trans. on Inform. Theory*, vol. 43, pp. 324-330, Jan. 1997.
- [8] M. F. Hole and K. J. Hole, "Low-complexity decoding of partial unit-memory convolutional codes on precoded partial-response channels," *IEEE Trans. on Inform. Theory*, vol. 43, pp. 1052-1058, May. 1997.
- [9] G. S. Lauer, "Some optimal partial unit-memory codes," *IEEE Trans. on Inform. Theory*, vol. IT-25, pp. 240-242, Mar. 1979.
- [10] L. N. Lee, "Short unit-memory byte-oriented convolutional codes having maximal free distance," *IEEE Trans. on Inform. Theory*, vol. IT-22, pp. 349-352, May 1976.
- [11] B. F. Uchôa Filho, R. Palazzo, Jr., A. Said, and C. de Almeida, "New unit-memory codes obtained by puncturing periodically time-varying convolutional codes", in *SBT/IEEE International Telecommunications Symposium*, pp. 534-538, São Paulo, SP, Brazil, Aug. 1998.
- [12] B. F. Uchôa Filho and R. Palazzo, Jr., "Unit-memory codes with simplified maximum likelihood decoding", in *ISITA'2000 International Symposium on Information Theory and its Applications*, pp. xxx, Honolulu, HI, U.S.A., Nov. 2000.
- [13] P. J. Lee, "There are many good periodically time-varying convolutional codes," *IEEE Trans. on Inform. Theory*, vol. 35, no. 2, pp. 460-463, Mar. 1989.
- [14] A. E. Brouwer and T. Verhoeff, "An updated table of minimum-distance bounds for binary linear codes," *IEEE Trans. on Inform. Theory*, vol. 39, pp. 662-667, Mar. 1993.